

$$M_P(f, w) = -V_P(0, w) \times l_f = -\frac{A \times P}{\sqrt{2}} \times UC(\tau, w) \times UC(f, 0) / UC(\tau, 0)$$

$$T_P(f, w) = -V_P(0, w) \times m_f = -\frac{A \times P}{\sqrt{2}} \times UC(\tau, w) \times US(f, 0) / UC(\tau, 0)$$

$w \leq f \leq \tau$ の場合

$$Q_P(f, w) = P \times (UC(\tau, w) - UC(\tau, 0)) / UC(\tau, 0)$$

$$M_P(f, w) = -\frac{A \times P}{\sqrt{2}} \times (UC(\tau, w) \times UC(f, 0) - UC(f, w) \times UC(\tau, 0)) / UC(\tau, 0)$$

$$T_P(f, w) = -\frac{A \times P}{\sqrt{2}} \times (UC(\tau, w) \times US(f, 0) - US(f, w) \times UC(\tau, 0)) / UC(\tau, 0)$$

以下同様に 集中荷重M, Tが作用した場合の結果のみを書くと,

ロ) 曲げモーメントMが作用する場合

i) 反力 $V_H(0, w) = -\frac{\sqrt{2} M}{A} \times \cos(\tau - w) / UC(\tau, 0)$, $V_H(\tau, w) = \frac{\sqrt{2} M}{A} \times \cos(\tau - w) / UC(\tau, 0)$

$T_H(\tau, w) = M \times (\cos(\tau - w) \times US(\tau, 0) - \sin(\tau - w) \times UC(\tau, 0)) / UC(\tau, 0)$

ii) 断面力

o $0 \leq f \leq w$ の場合 $Q_H(f, w) = -\frac{\sqrt{2} M}{A} \cos(\tau - w) / UC(\tau, 0)$

$M_H(f, w) = M \times \cos(\tau - w) \times UC(f, 0) / UC(\tau, 0)$, $T_H(f, w) = M \times \cos(\tau - w) \times US(f, 0) / UC(\tau, 0)$

o $w \leq f \leq \tau$ の場合 $Q_H(f, w) = -\frac{\sqrt{2} M}{A} \cos(\tau - w) / UC(\tau, 0)$

$M_H(f, w) = M \times (\cos(\tau - w) \times UC(f, 0) - \cos(f - w) \times UC(\tau, 0)) / UC(\tau, 0)$

$T_H(f, w) = M \times (\cos(\tau - w) \times US(f, 0) - \sin(f - w) \times UC(\tau, 0)) / UC(\tau, 0)$

リ) ねじりモーメントTが作用する場合

i) 反力 $V_T(0, w) = \frac{\sqrt{2} T}{A} \sin(\tau - w) / UC(\tau, 0)$, $V_T(\tau, w) = -\frac{\sqrt{2} T}{A} \sin(\tau - w) / UC(\tau, 0)$

$T_T(\tau, w) = -T \times (\sin(\tau - w) \times US(\tau, 0) + \cos(\tau - w) \times UC(\tau, 0)) / UC(\tau, 0)$

ii) 断面力

o $0 \leq f \leq w$ の場合 $Q_T(f, w) = \frac{\sqrt{2} T}{A} \sin(\tau - w) / UC(\tau, 0)$

$M_T(f, w) = -T \times \sin(\tau - w) \times UC(f, 0) / UC(\tau, 0)$, $T_T(f, w) = -T \times \sin(\tau - w) \times US(f, 0) / UC(\tau, 0)$

o $w \leq f \leq \tau$ の場合 $Q_T(f, w) = \frac{\sqrt{2} T}{A} \sin(\tau - w) / UC(\tau, 0)$

$M_T(f, w) = -T \times (\sin(\tau - w) \times UC(f, 0) - \sin(f - w) \times UC(\tau, 0)) / UC(\tau, 0)$

$T_T(f, w) = -T \times (\sin(\tau - w) \times US(f, 0) + \cos(f - w) \times UC(\tau, 0)) / UC(\tau, 0)$

(3) $UC(\alpha, \beta)$, $US(\alpha, \beta)$ の計算

$$UC(\alpha, \beta) = \int_{\beta}^{\alpha} \frac{\cos(\alpha - \theta)}{\sqrt{\tau_0 + \theta}} d\theta$$

$$= 2 \times \int_{\sqrt{\tau_0 + \beta}}^{\sqrt{\tau_0 + \alpha}} \cos(\tau_0 + \alpha - u^2) du$$

$$= 2 \times \{ \cos(\tau_0 + \alpha) \times \int \cos u^2 du + \sin(\tau_0 + \alpha) \times \int \sin u^2 du \}$$

ここで

$$f(x) = \int \cos x^2 dx = x - \frac{x^5}{5 \times 2!} + \frac{x^9}{9 \times 4!} - \frac{x^{13}}{13 \times 6!} + \dots$$

$$g(x) = \int \sin x^2 dx = \frac{x^3}{3} - \frac{x^7}{7 \times 3!} + \frac{x^{11}}{11 \times 5!} - \frac{x^{15}}{15 \times 7!} + \dots$$

$\sqrt{\tau_0 + \alpha} = x$, $\sqrt{\tau_0 + \beta} = y$ とおくと

$$UC(\alpha, \beta) = 2 \times \{ \cos x^2 \times (f(x) - f(y)) + \sin x^2 \times (g(x) - g(y)) \}$$

同様にして

$$US(\alpha, \beta) = 2 \times \{ \sin x^2 \times (f(x) - f(y)) - \cos x^2 \times (g(x) - g(y)) \}$$

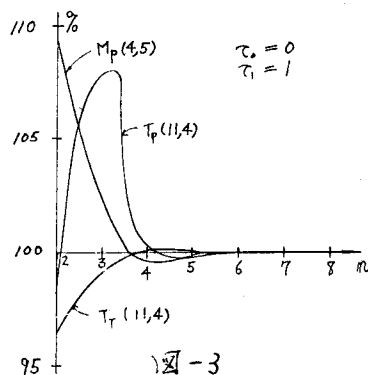


図-3は $f(x)$, $g(x)$ の収束の状況を調べたもので $t_0=0$, $t_1=1$ の時の $M_p(4,5)$, $T_p(11,4)$, $F_r(11,4)$ の値を $n=19$ つまり $f(x)$ を10項 $g(x)$ を9項とった時の値を100とした時の項数による値をプロットしたものである。計算の結果によると $n=8$ つまり $f(x)$ $g(x)$ がそれぞれ4項ずつに100.000の値をとっており $n=6$ では $M_p(4,5)$ で100.011, $T_p(11,4)$ で99.992, $F_r(11,4)$ では99.996である。

(4) クロソイド曲線静定単桁の理論 (変形) 紙面の都合上 集中荷重 P の載荷したときの数式の列挙にとどめるが なお詳細な過程, 記号の定義は文献(3)等を参照されたい。

なお以下で EI は曲げ剛性 GI_T はねじり剛性 f はたわみ, β はたわみ角, θ はねじり角である。

○ $0 \leq f \leq w$ の場合

$$f_{MP}(f, w) = \frac{A^3 P}{2\sqrt{2}EI} \times \frac{1}{UC(t_0, 0)^2} \times \{ UC(t_1, w) \times (UC(t_1, f) \times VC(t_1, 0, 0, 0) - UC(t_1, 0) \times VC(t_1, f, f, 0)) - UC(t_1, 0) \times (UC(t_1, f) \times VC(t_1, w, w, 0) - UC(t_1, 0) \times VC(t_1, w, f, f)) \}$$

$$f_{TP}(f, w) = \frac{A^3 P}{2\sqrt{2}GI_T} \times \frac{1}{UC(t_0, 0)^2} \times \{ UC(t_1, w) \times (UC(t_1, f) \times VS(t_1, 0, 0, 0) - UC(t_1, 0) \times VS(t_1, f, f, 0)) - UC(t_1, 0) \times (UC(t_1, f) \times VS(t_1, w, w, 0) - UC(t_1, 0) \times VS(t_1, w, f, f)) \}$$

$$\beta_{MP}(f, w) = -\frac{A^3 P}{2EI} \times \frac{1}{UC(t_0, 0)^2} \times \{ UC(t_1, w) \times (\cos(t_1 - f) \times VC(t_1, 0, 0, 0) - UC(t_1, 0) \times WCC(t_1, f, f, 0)) - UC(t_1, 0) \times (\cos(t_1 - f) \times VC(t_1, w, w, 0) - UC(t_1, 0) \times WCC(t_1, w, f, w)) \}$$

$$\beta_{TP}(f, w) = -\frac{A^3 P}{2GI_T} \times \frac{1}{UC(t_0, 0)^2} \times \{ UC(t_1, w) \times (\cos(t_1 - f) \times VS(t_1, 0, 0, 0) - UC(t_1, 0) \times WSS(t_1, f, f, 0)) - UC(t_1, 0) \times (\cos(t_1 - f) \times VS(t_1, w, w, 0) - UC(t_1, 0) \times WSS(t_1, w, f, w)) \}$$

$$\theta_{MP}(f, w) = \frac{A^3 P}{2EI} \times \frac{1}{UC(t_0, 0)^2} \times \{ UC(t_1, w) \times (\sin(t_1 - f) \times VC(t_1, 0, 0, 0) - UC(t_1, 0) \times WSC(t_1, f, f, 0)) - UC(t_1, 0) \times (\sin(t_1 - f) \times VC(t_1, w, w, 0) - UC(t_1, 0) \times WSC(t_1, w, f, w)) \}$$

$$\theta_{TP}(f, w) = \frac{A^3 P}{2GI_T} \times \frac{1}{UC(t_0, 0)^2} \times \{ UC(t_1, w) \times (\sin(t_1 - f) \times VS(t_1, 0, 0, 0) + UC(t_1, 0) \times WCS(t_1, f, f, 0)) - UC(t_1, 0) \times (\sin(t_1 - f) \times VS(t_1, w, w, 0) + UC(t_1, 0) \times WCS(t_1, w, f, w)) \}$$

○ $w \leq f \leq t_1$ の場合

$$f_{MP}(f, w) = \frac{A^3 P}{2\sqrt{2}EI} \times \frac{1}{UC(t_0, 0)^2} \times \{ UC(t_1, f) \times (UC(t_1, w) \times VC(t_1, 0, 0, 0) - UC(t_1, 0) \times VC(t_1, w, w, 0)) - UC(t_1, 0) \times (UC(t_1, w) \times VC(t_1, f, f, 0) - UC(t_1, 0) \times VC(t_1, f, f, w)) \}$$

$$f_{TP}(f, w) = \frac{A^3 P}{2\sqrt{2}GI_T} \times \frac{1}{UC(t_0, 0)^2} \times \{ UC(t_1, f) \times (UC(t_1, w) \times VS(t_1, 0, 0, 0) - UC(t_1, 0) \times VS(t_1, w, w, 0)) - UC(t_1, 0) \times (UC(t_1, w) \times VS(t_1, f, f, 0) - UC(t_1, 0) \times VS(t_1, f, f, w)) \}$$

$$\beta_{MP}(f, w) = -\frac{A^3 P}{2EI} \times \frac{1}{UC(t_0, 0)^2} \times \{ UC(t_1, w) \times (\cos(t_1 - f) \times VC(t_1, 0, 0, 0) - UC(t_1, 0) \times WCC(t_1, f, f, 0)) - UC(t_1, 0) \times (\cos(t_1 - f) \times VC(t_1, w, w, 0) - UC(t_1, 0) \times WCC(t_1, f, f, w)) \}$$

$$\beta_{TP}(f, w) = -\frac{A^3 P}{2GI_T} \times \frac{1}{UC(t_0, 0)^2} \times \{ UC(t_1, w) \times (\cos(t_1 - f) \times VS(t_1, 0, 0, 0) - UC(t_1, 0) \times WSS(t_1, f, f, 0)) - UC(t_1, 0) \times (\cos(t_1 - f) \times VS(t_1, w, w, 0) - UC(t_1, 0) \times WSS(t_1, f, f, w)) \}$$

$$\theta_{MP}(f, w) = \frac{A^3 P}{2EI} \times \frac{1}{UC(t_0, 0)^2} \times \{ UC(t_1, w) \times (\sin(t_1 - f) \times VC(t_1, 0, 0, 0) - UC(t_1, 0) \times WSC(t_1, f, f, 0)) - UC(t_1, 0) \times (\sin(t_1 - f) \times VC(t_1, w, w, 0) - UC(t_1, 0) \times WSC(t_1, f, f, w)) \}$$

$$\theta_{TP}(f, w) = \frac{A^3 P}{2GI_T} \times \frac{1}{UC(t_0, 0)^2} \times \{ UC(t_1, w) \times (\sin(t_1 - f) \times VS(t_1, 0, 0, 0) + UC(t_1, 0) \times WCS(t_1, f, f, 0)) - UC(t_1, 0) \times (\sin(t_1 - f) \times VS(t_1, w, w, 0) + UC(t_1, 0) \times WCS(t_1, f, f, w)) \}$$

(5) TC, VS, WCC, WCS, WSC, WSSの計算

$$TC(\beta_2, \beta_1, d_1, d_2) = \int_{\beta_1}^{\beta_2} \left\{ \int_{d_1}^d \frac{\cos(\vartheta-\theta)}{\sqrt{t_0+\theta}} d\theta \times \int_{d_2}^d \frac{\cos(\vartheta-\theta)}{\sqrt{t_0+\theta}} d\theta \right\} \frac{d\vartheta}{\sqrt{t_0+\vartheta}}$$

$$= 4 \times \int_{\beta_1}^{\beta_2} \left\{ \int_{\sqrt{t_0+d_1}}^{\sqrt{t_0+d}} \cos(t_0+d-u^2) du \times \int_{\sqrt{t_0+d_2}}^{\sqrt{t_0+d}} \cos(t_0+d-u^2) du \right\} \frac{d\vartheta}{\sqrt{t_0+\vartheta}}$$

$$= 2 \times \int_{\sqrt{t_0+d_1}}^{\sqrt{t_0+d_2}} UC(\vartheta, d_1) \times UC(\vartheta, d_2) d\vartheta$$

ここで $\sqrt{t_0+\vartheta} = x$ とする。

同様にして

$$VS(\beta_2, \beta_1, d_1, d_2) = \int_{\beta_1}^{\beta_2} \left\{ \int_{d_1}^d \frac{\sin(\vartheta-\theta)}{\sqrt{t_0+\theta}} d\theta \times \int_{d_2}^d \frac{\sin(\vartheta-\theta)}{\sqrt{t_0+\theta}} d\theta \right\} \frac{d\vartheta}{\sqrt{t_0+\vartheta}}$$

$$= 2 \times \int_{\sqrt{t_0+d_1}}^{\sqrt{t_0+d_2}} US(\vartheta, d_1) \times US(\vartheta, d_2) d\vartheta$$

$$WCC(\beta_2, \beta_1, d_1, d_2) = \int_{\beta_1}^{\beta_2} \left\{ \cos(\vartheta-d_1) \times \int_{d_2}^d \frac{\cos(\vartheta-\theta)}{\sqrt{t_0+\theta}} d\theta \right\} \frac{d\vartheta}{\sqrt{t_0+\vartheta}} = \int_{\beta_1}^{\beta_2} \left\{ \cos(\vartheta-d_1) \times \int_{\sqrt{t_0+d_2}}^{\sqrt{t_0+d}} \cos(t_0+d-u^2) \times 2 du \right\} \frac{d\vartheta}{\sqrt{t_0+\vartheta}}$$

$$= 2 \times \int_{\sqrt{t_0+d_1}}^{\sqrt{t_0+d_2}} \cos(x^2-t_0-d_1) \times UC(\vartheta, d_2) d\vartheta$$

同様にして

$$WCS(\beta_2, \beta_1, d_1, d_2) = \int_{\beta_1}^{\beta_2} \left\{ \cos(\vartheta-d_1) \times \int_{d_2}^d \frac{\sin(\vartheta-\theta)}{\sqrt{t_0+\theta}} d\theta \right\} \frac{d\vartheta}{\sqrt{t_0+\vartheta}} = 2 \times \int_{\sqrt{t_0+d_1}}^{\sqrt{t_0+d_2}} \cos(x^2-t_0-d_1) \times US(\vartheta, d_2) d\vartheta$$

$$WSC(\beta_2, \beta_1, d_1, d_2) = \int_{\beta_1}^{\beta_2} \left\{ \sin(\vartheta-d_1) \times \int_{d_2}^d \frac{\cos(\vartheta-\theta)}{\sqrt{t_0+\theta}} d\theta \right\} \frac{d\vartheta}{\sqrt{t_0+\vartheta}} = 2 \times \int_{\sqrt{t_0+d_1}}^{\sqrt{t_0+d_2}} \sin(x^2-t_0-d_1) \times UC(\vartheta, d_2) d\vartheta$$

$$WSS(\beta_2, \beta_1, d_1, d_2) = \int_{\beta_1}^{\beta_2} \left\{ \sin(\vartheta-d_1) \times \int_{d_2}^d \frac{\sin(\vartheta-\theta)}{\sqrt{t_0+\theta}} d\theta \right\} \frac{d\vartheta}{\sqrt{t_0+\vartheta}} = 2 \times \int_{\sqrt{t_0+d_1}}^{\sqrt{t_0+d_2}} \sin(x^2-t_0-d_1) \times US(\vartheta, d_2) d\vartheta$$

実際の計算にあたっては以上の各項の値は数値積分により求める。

(注) 断面の都合で全部記せなかったが f と之は $f_{FH}(f, w)$ は、

$$\bullet 0 \leq f \leq w \text{ の場合 } -\frac{AH}{2EI} \times \frac{1}{UC(t_0, 0)^2} \times \left\{ UC(t_0, f) \times (\cos(t_0-w) \times VC(t_0, 0, 0) - UC(t_0, 0) \times WCC(t_0, w, w, 0)) - UC(t_0, 0) \times (\cos(t_0-w) \times VC(t_0, f, 0) - UC(t_0, 0) \times WCC(t_0, w, w, f)) \right\}$$

$$\bullet w \leq f \leq t_1 \text{ の場合 } -\frac{AH}{2EI} \times \frac{1}{UC(t_0, 0)^2} \times \left\{ UC(t_0, f) \times (\cos(t_0-w) \times VC(t_0, 0, 0) - UC(t_0, 0) \times WCC(t_0, w, w, 0)) - UC(t_0, 0) \times (\cos(t_0-w) \times VC(t_0, f, 0) - UC(t_0, 0) \times WCC(t_0, f, w, f)) \right\}$$

となり β_{fp} と明らかに相反法則に成立している。他の場合も同様である。

(6) クロソイドのパラメータAについて クロソイド曲線の相似性からも当然の結果であるが

単位クロソイド曲線 (A=1) の場合のみの諸値を

計算しておけば右の表の係数を乗じて求めるク

ロソイド曲線の断面力・変形を得ることができる。

クロソイド部材を捷算法で解いたものか文献(2)(4)

	ϕ_p	M_p	T_p	ϕ_M	M_M	T_M	ϕ_T	M_T	T_T
乗数	1	A	A	1/A	1	1	1/A	1	1
	f_p	β_p	θ_p	f_M	β_M	θ_M	f_T	β_T	θ_T
乗数	A ³	A ²	A ²	A ²	A	A	A ²	A	A

(5)にあるので茲に参照された。

終りに本文作成にあたり種々のご指導をいただいた北海道大学の渡辺教授並びに棟原助教授に深く感謝します。

(参考文献) (1)日本道路協会 クロソイドポケットブック 昭和43年8月15日発行 (2)山崎 太田 クロソイド部材の軸面内荷重に対するたわみ角式 九大工学集報 第38回 第2号 昭和40年6月 (3)渡辺昇著 曲線けたの理論と計算 昭和42年5月25日発行 (4)山崎 太田 入江 面に垂直な荷重をうけるクロソイド曲線材の立体捷算式 第18回土木学会年次学術講演会講演要旨 昭和38年 (5)山崎 太田 彦坂 クロソイド部材をもつ連続橋およびラーメンの立体解析 土木学会論文集 第142号 昭和42年6月 研究ノート